

**Mappe del flusso diffuso di CO₂ dal suolo relative al
monitoraggio delle aree target dei progetti Castel Giorgio e
Torre Alfina e mappe dei parametri ambientali**

**ALLEGATO AL RAPPORTO “MONITORAGGIO DEL FLUSSO DI CO₂ DAL SUOLO
DA AREE TARGET NELL’AREA GEOTERMICA DI CASTEL GIORGIO-TORRE
ALFINA” PERIODO APRILE 2013-GIUGNO 2017**

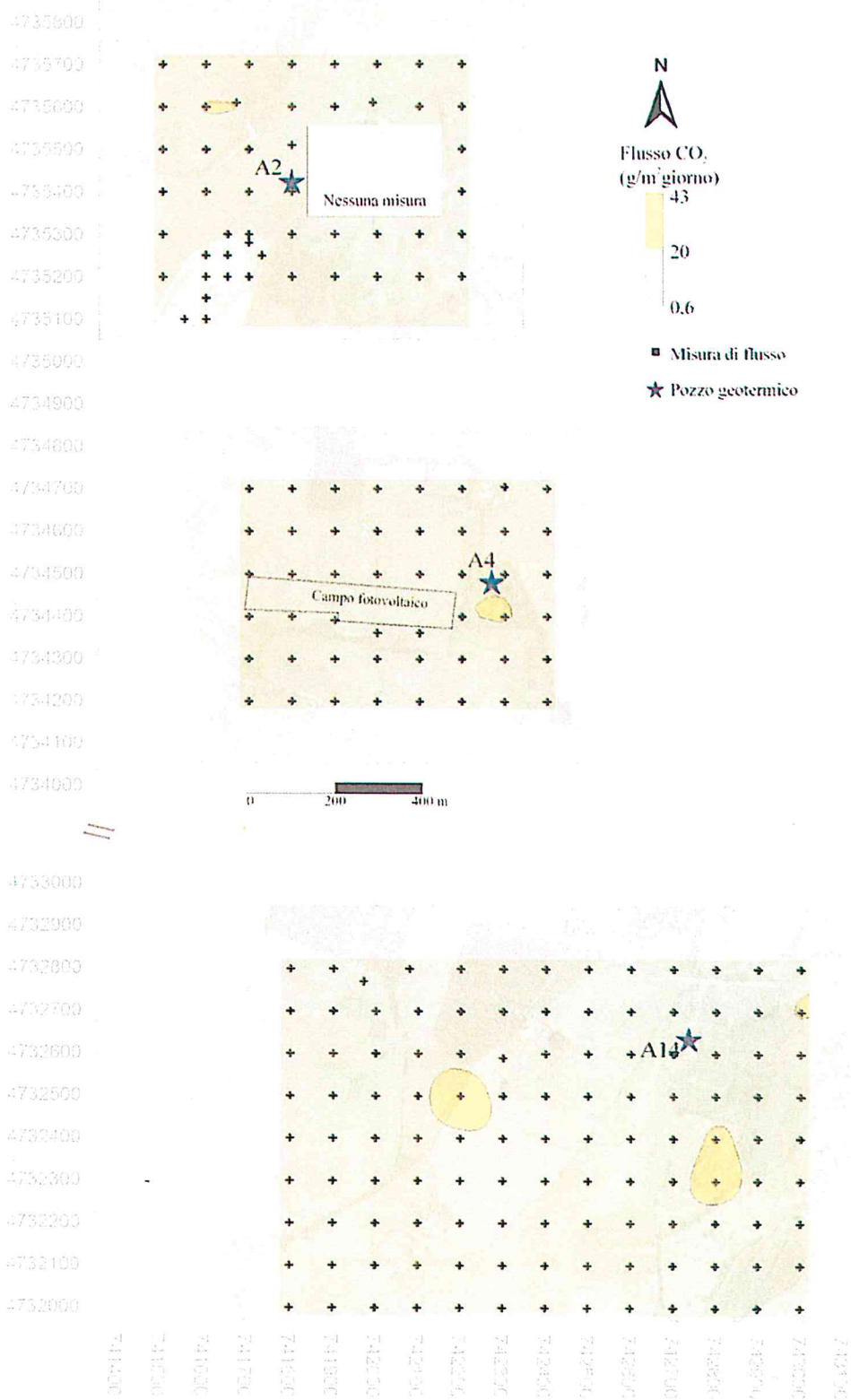


Fig. A2. Mappe del flusso di CO₂ dal suolo delle aree target A2, A4 e A14, relative alla campagna del 24-25 settembre 2013.

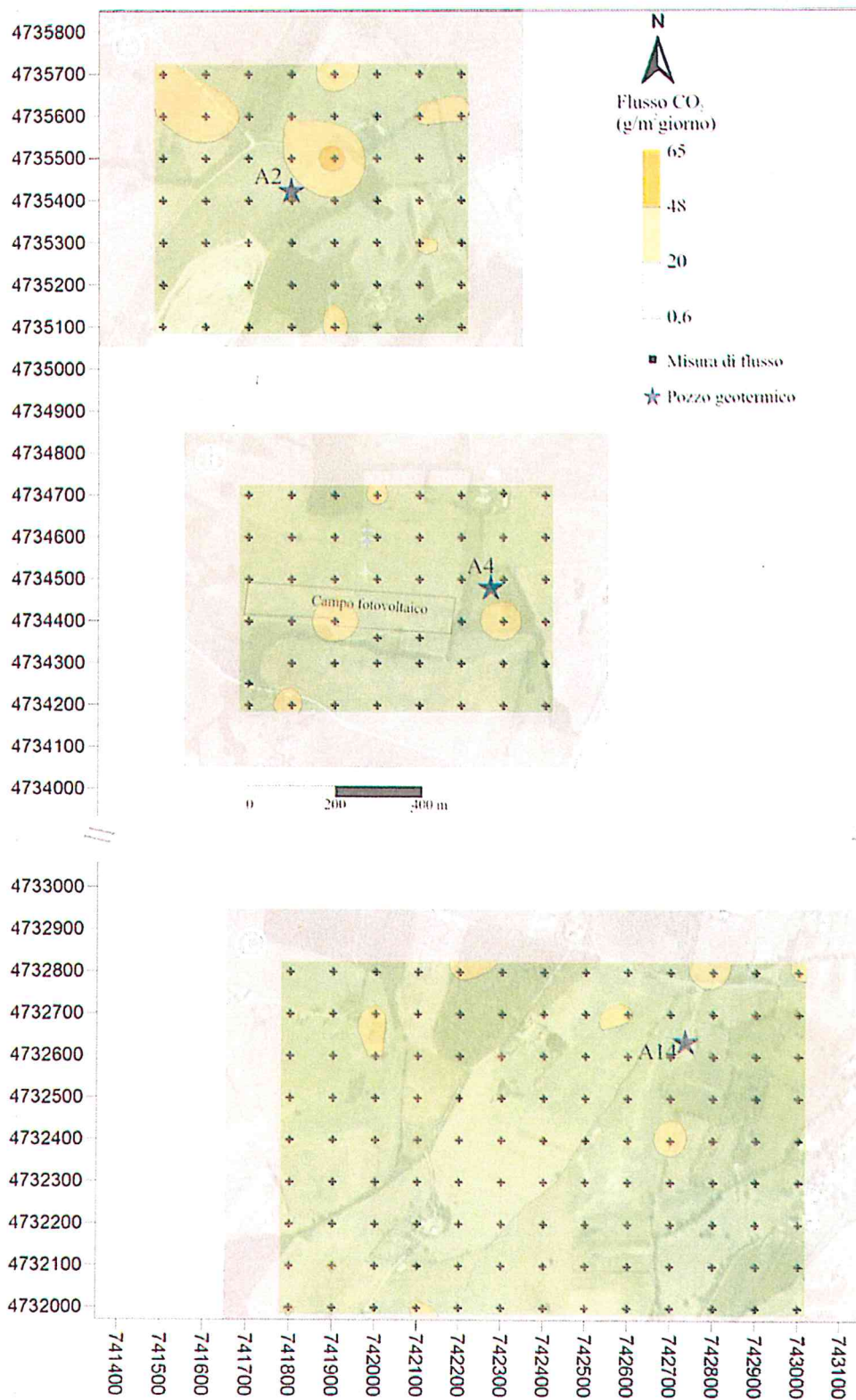


Fig. A3. Mappe del flusso di CO₂ dal suolo delle aree target A2, A4 e A14, relative alla campagna del 10-11 marzo 2014.

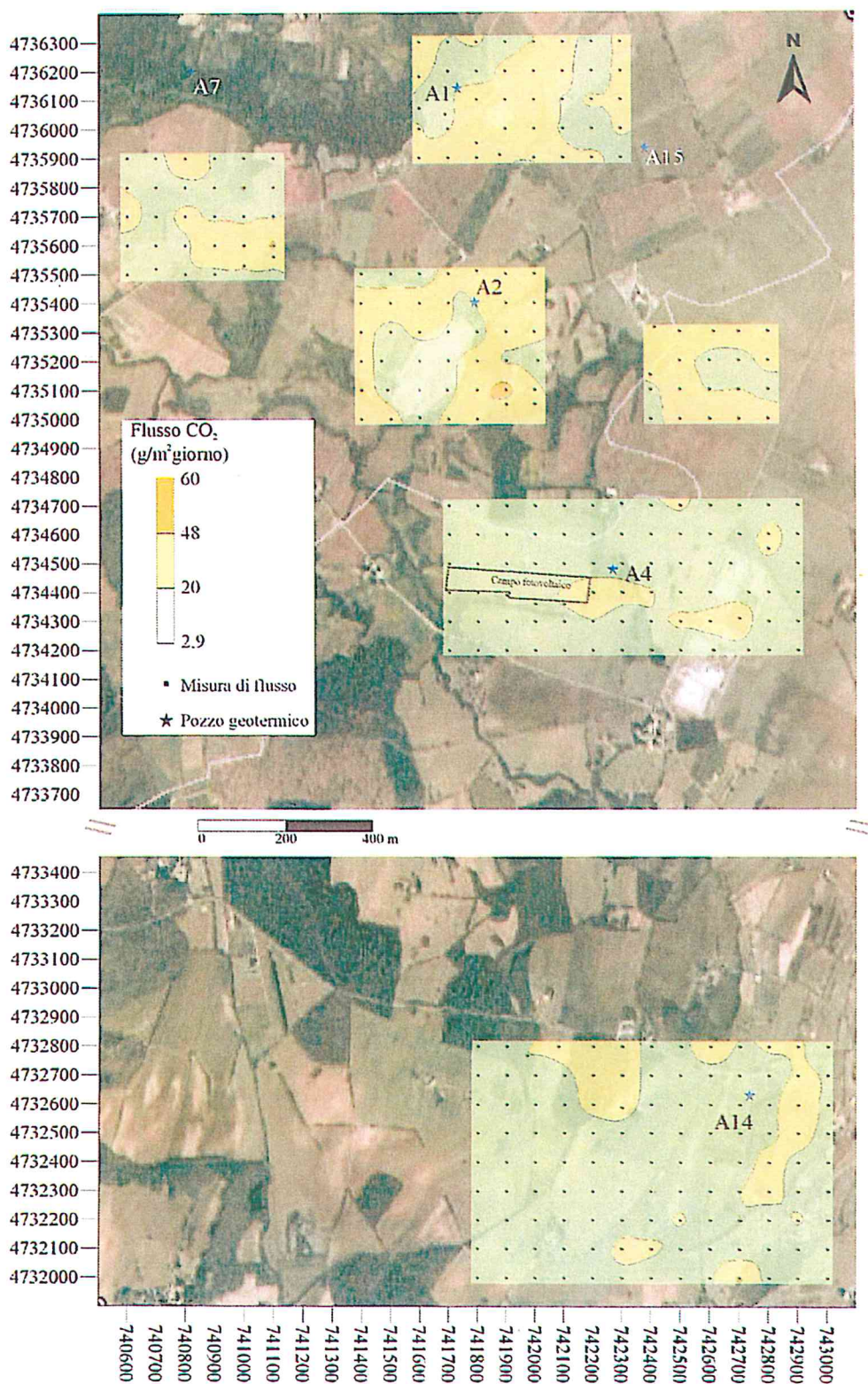


Fig. A4. Mappa del flusso di CO₂ dal suolo delle aree target misurato a luglio 2014.

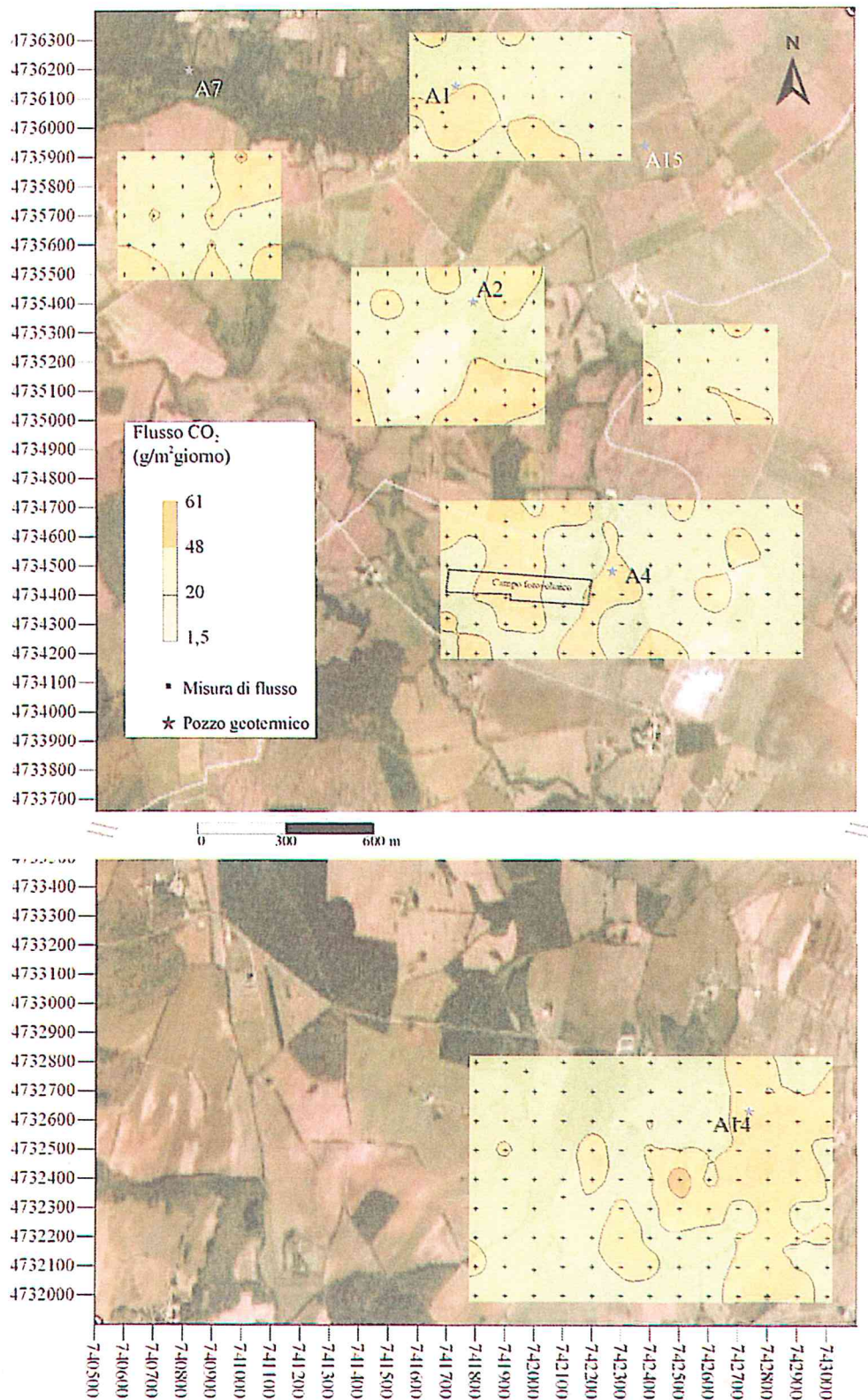


Fig. A5. Mappa del flusso di CO₂ dal suolo delle aree target misurato a ottobre 2014.

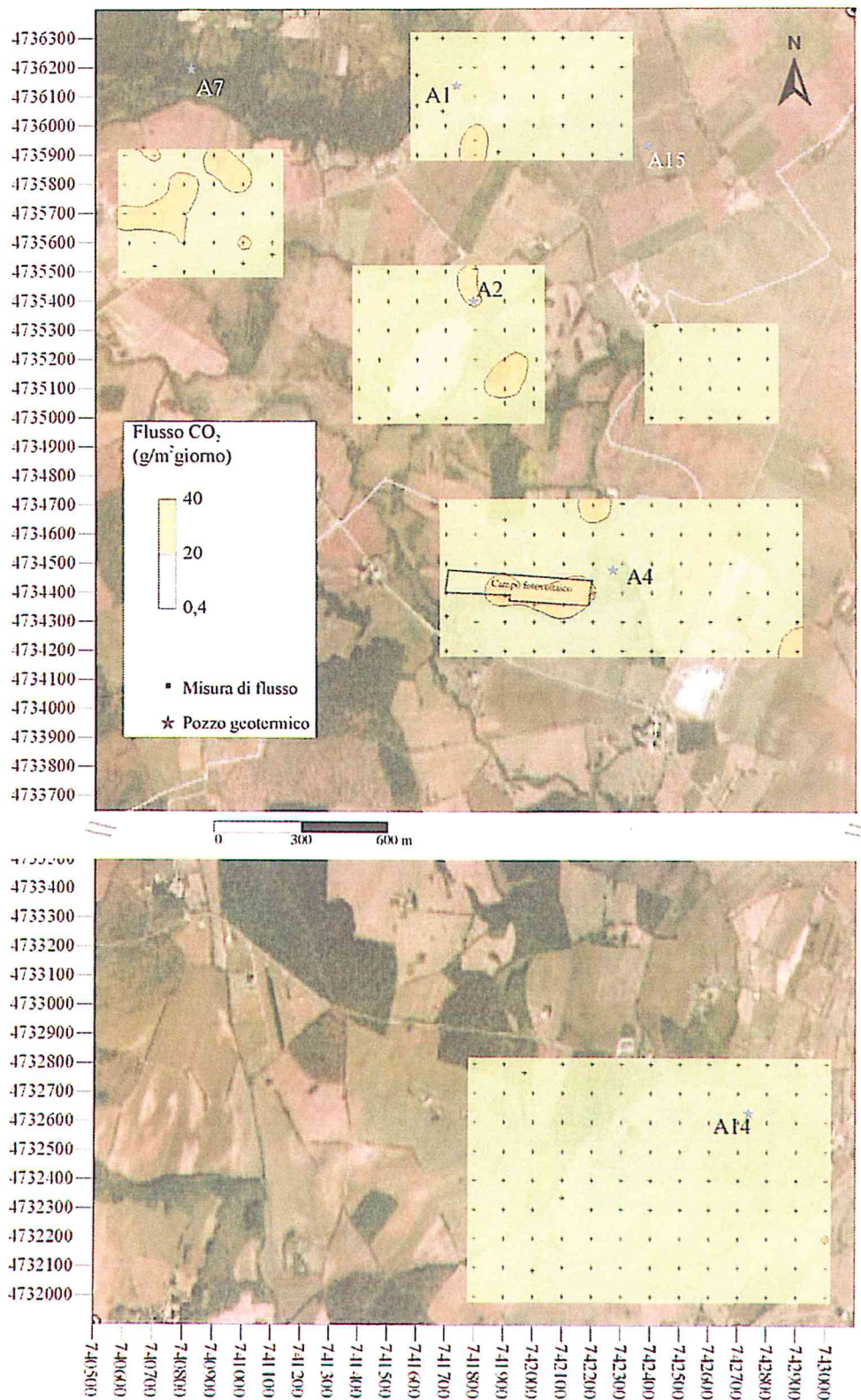


Fig. A6. Mappa del flusso di CO₂ dal suolo delle aree target misurato a febbraio 2015.

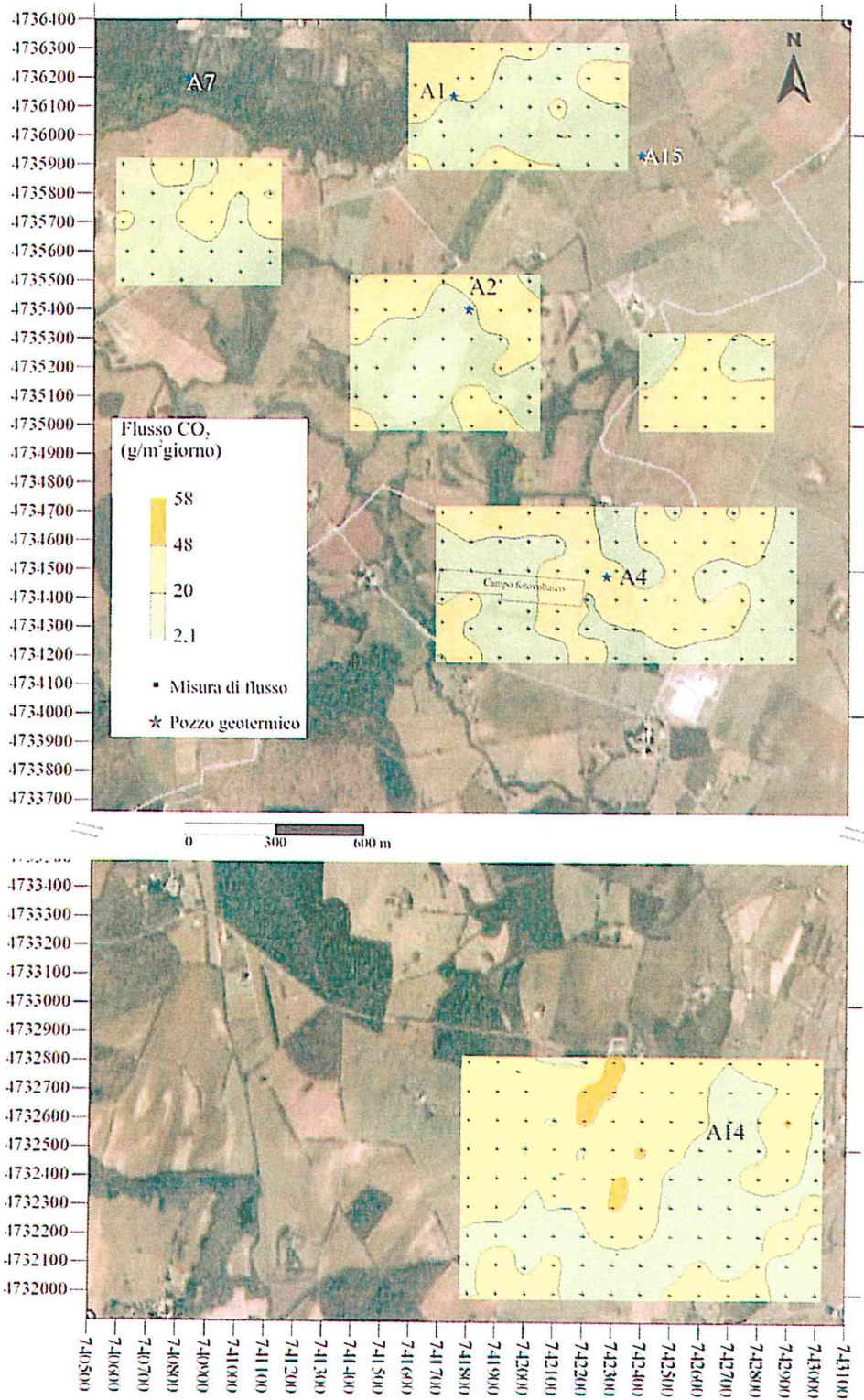


Fig. A7. Mappa del flusso di CO₂ dal suolo delle aree target misurato a giugno 2015.

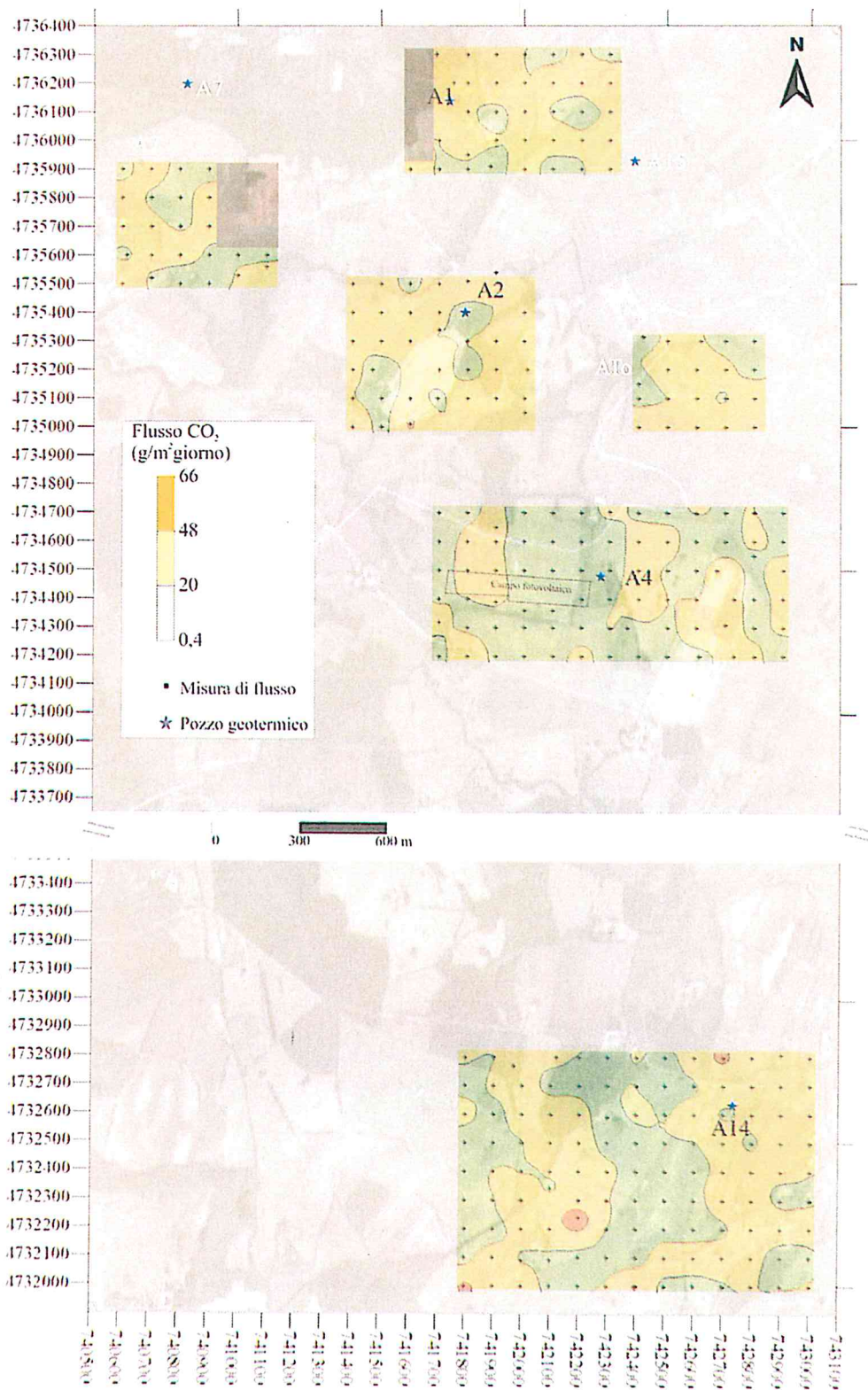


Fig. A8. Mappa del flusso di CO₂ dal suolo delle aree target misurato a settembre 2015. Le aree grigie corrispondono a settori in cui non si sono potute eseguire misure causa indisponibilità all'accesso.

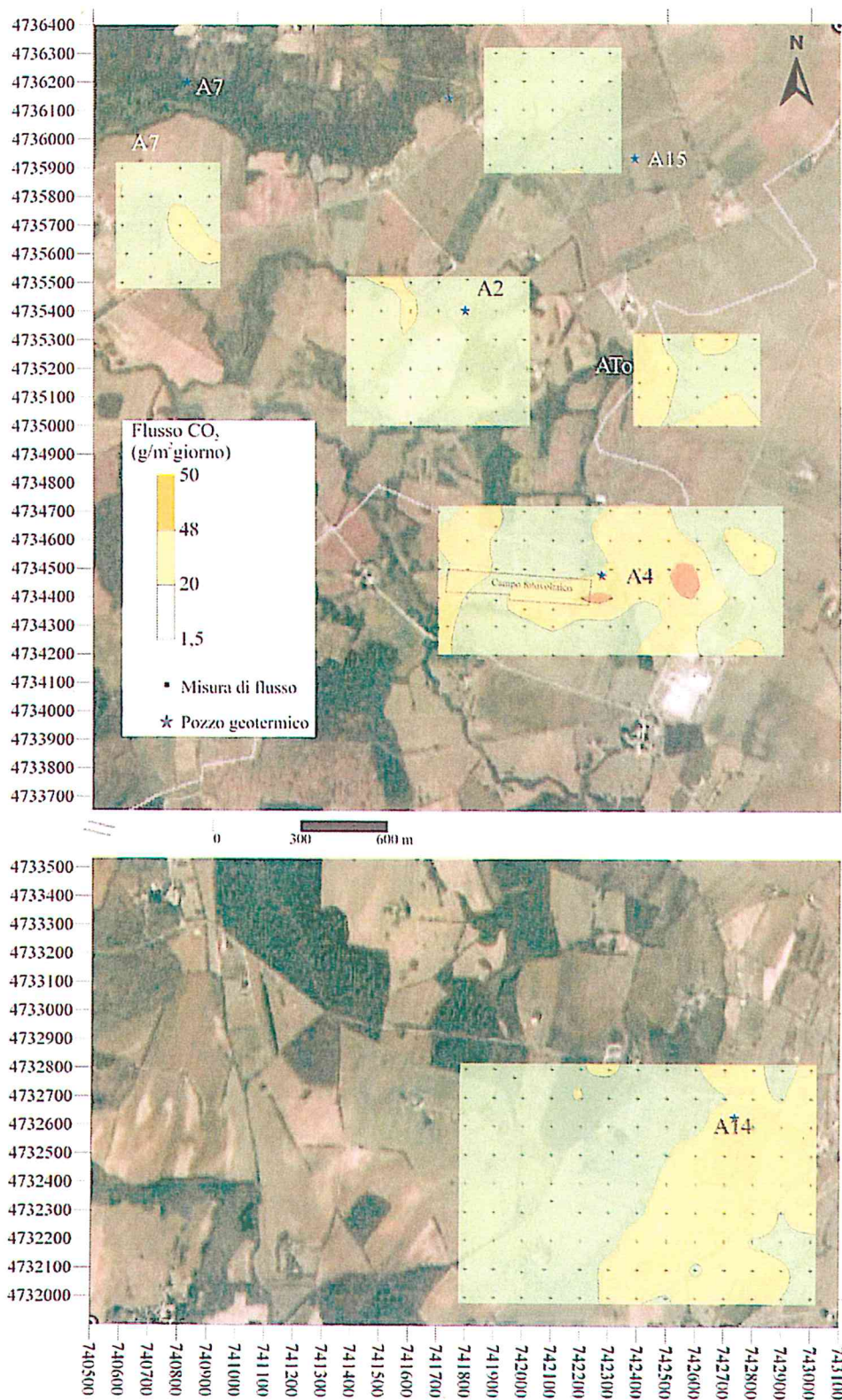


Fig. A9. Mappa del flusso di CO₂ dal suolo delle aree target. Le aree target A1 e A7 sono ridotte causa indisponibilità all'accesso.

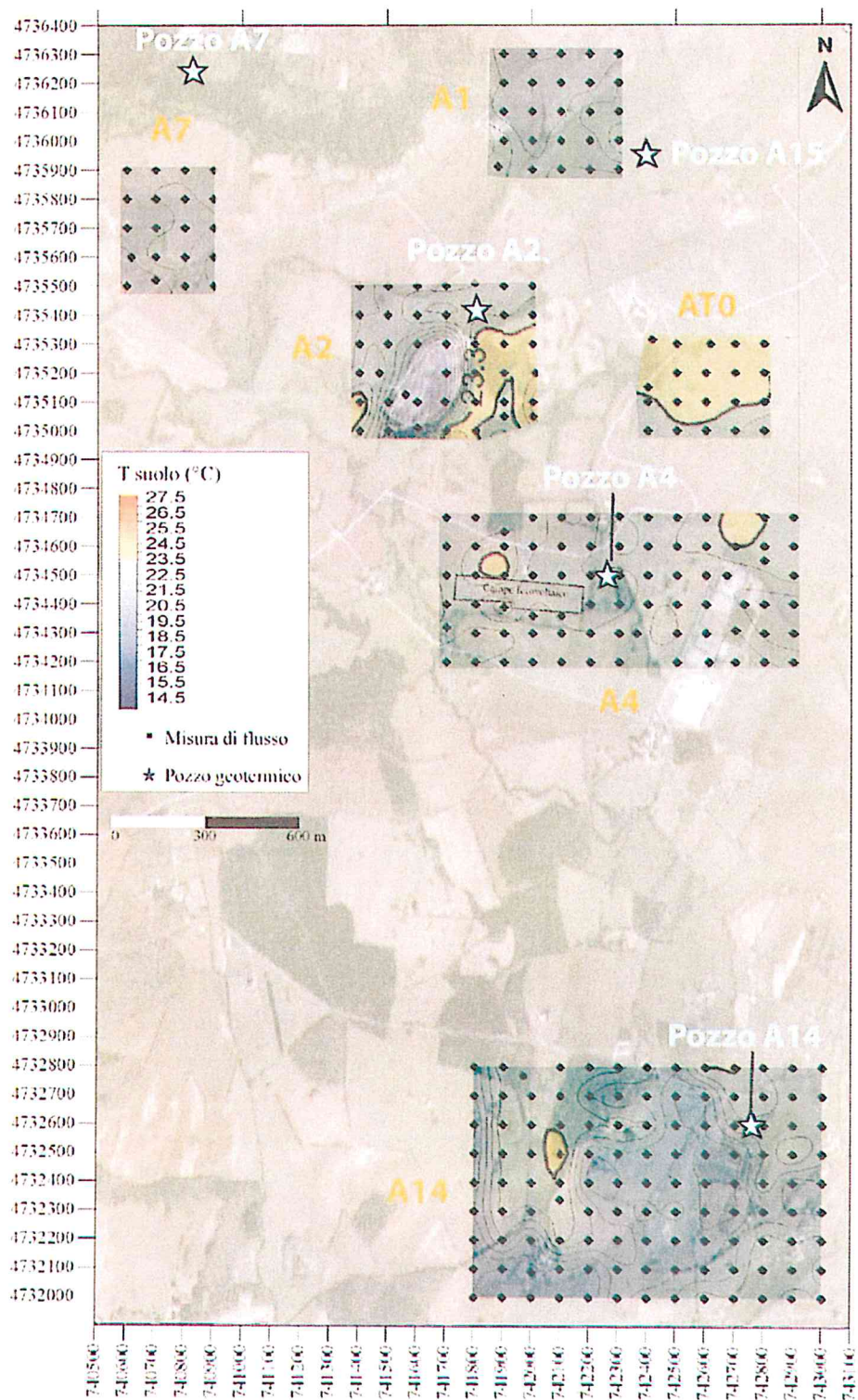


Fig. A10. Mappa di distribuzione delle temperature del suolo nelle aree target - campagna di aprile 2016.

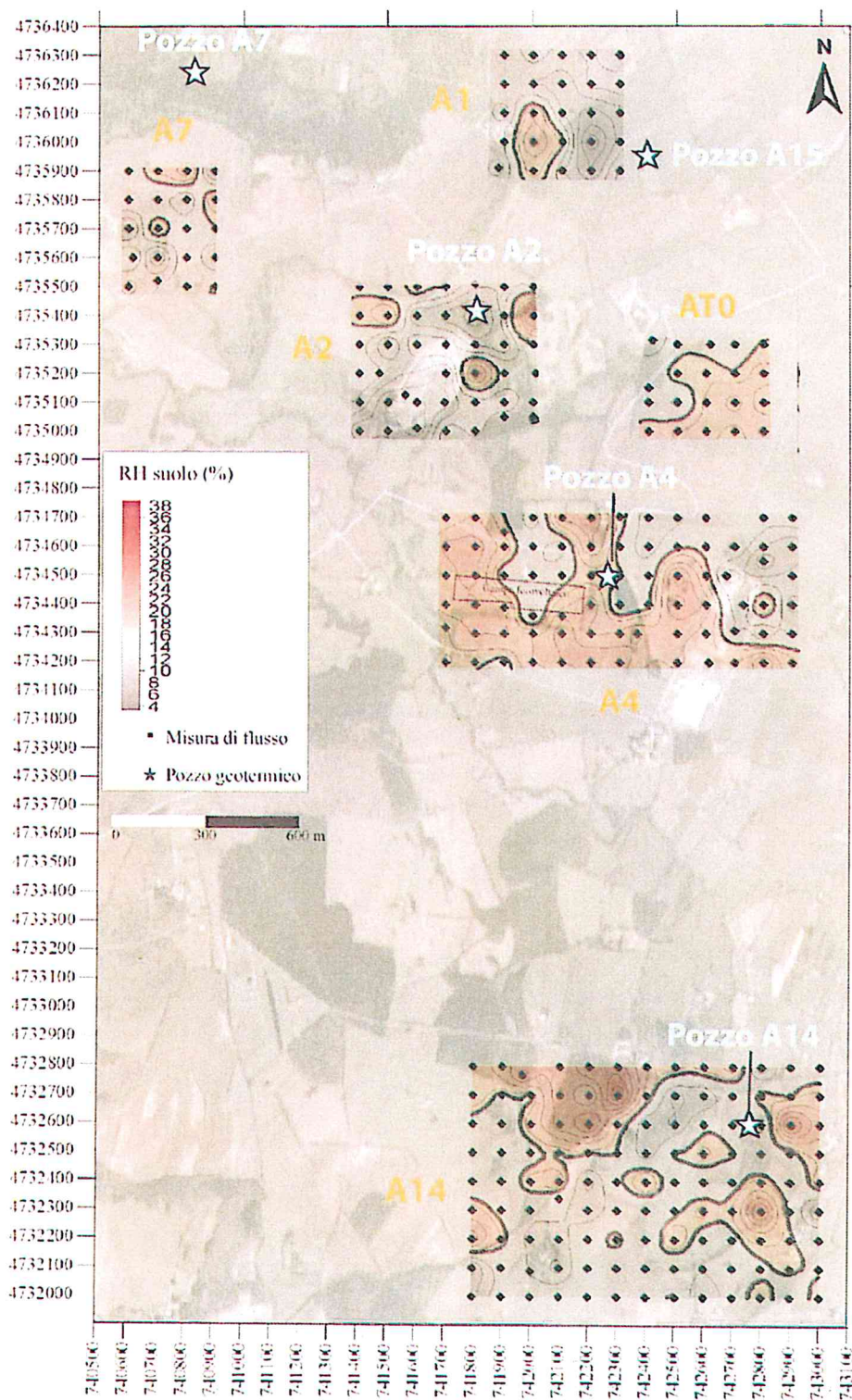


Fig. A11. Mappa di distribuzione dell'umidità del suolo nelle aree target - campagna di aprile 2016.

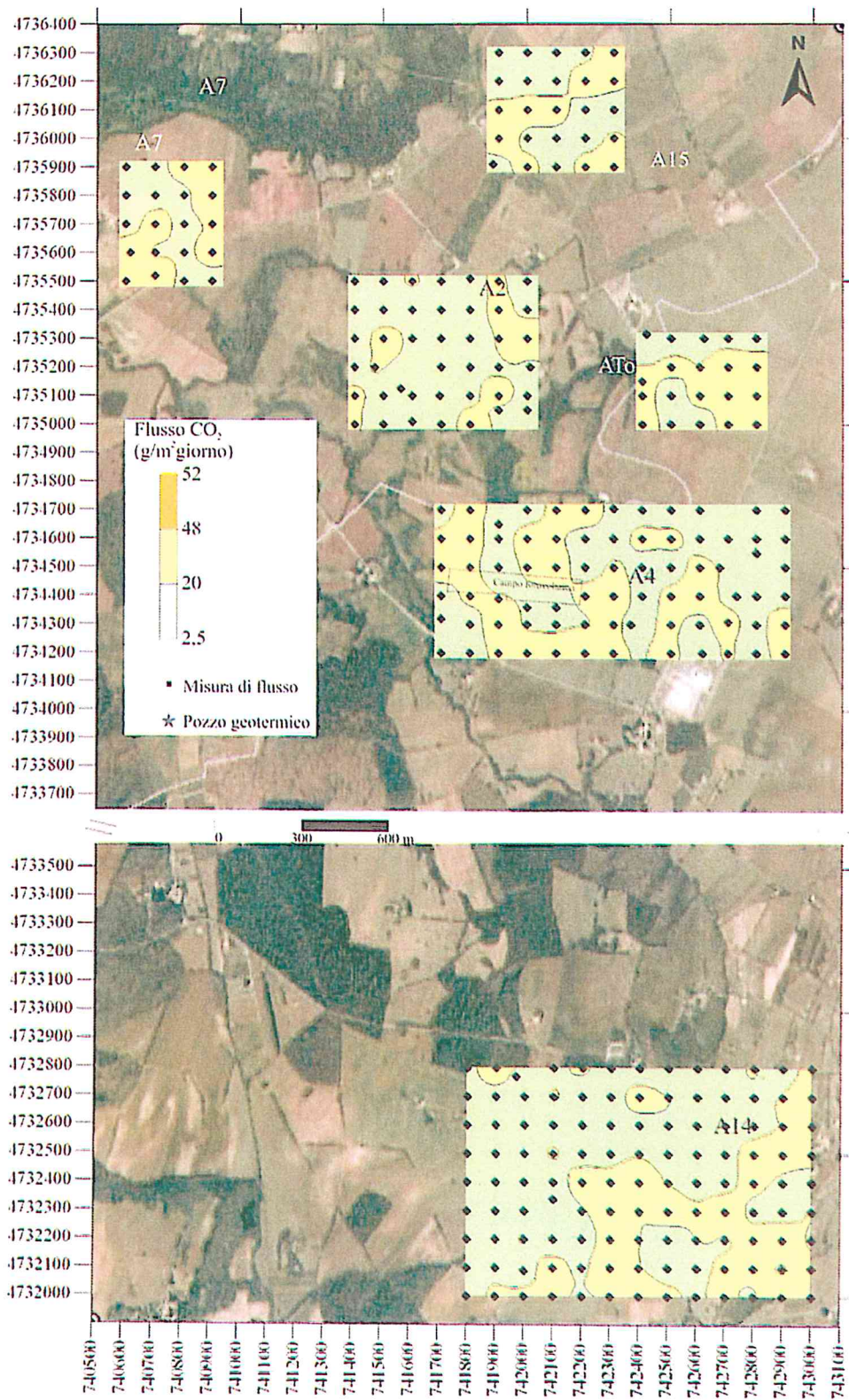


Fig. A12. Mappa del flusso di CO₂ dal suolo delle aree target misurato ad aprile 2016.

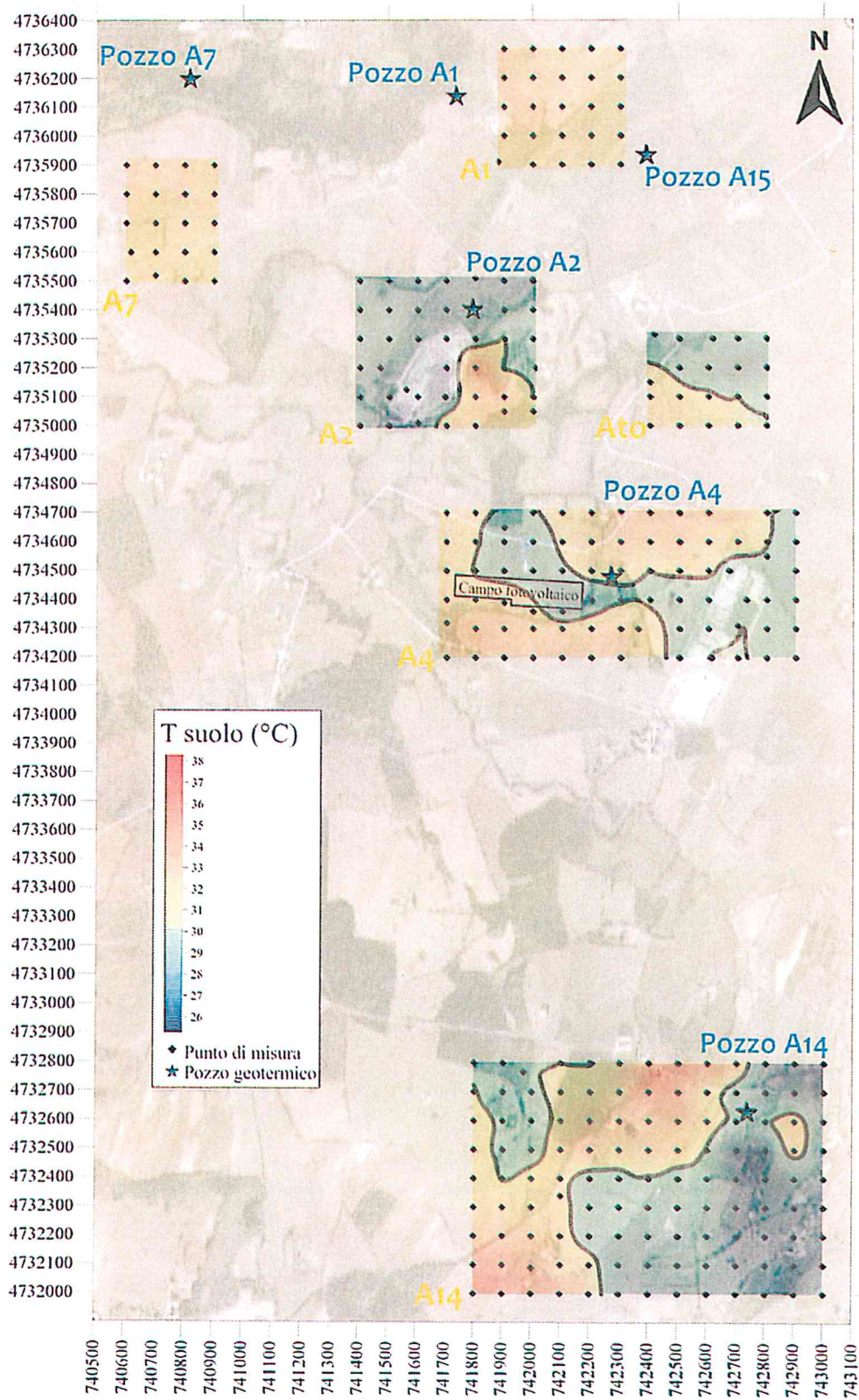


Fig. A13. Mappa delle temperature del suolo nelle aree target - campagna di agosto 2016.

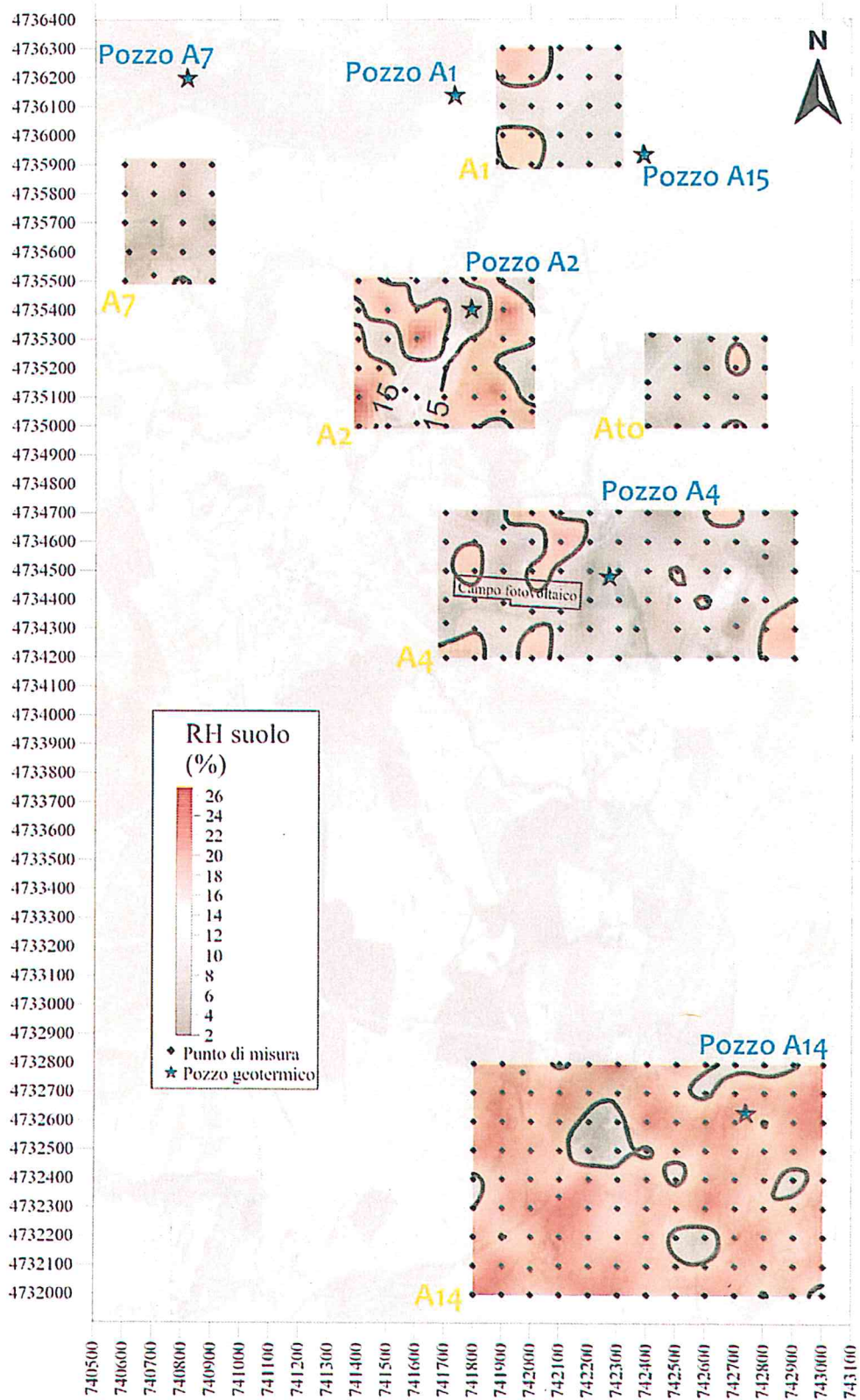


Fig. A14. Mappa dell'umidità del suolo nelle aree target - campagna di agosto 2016

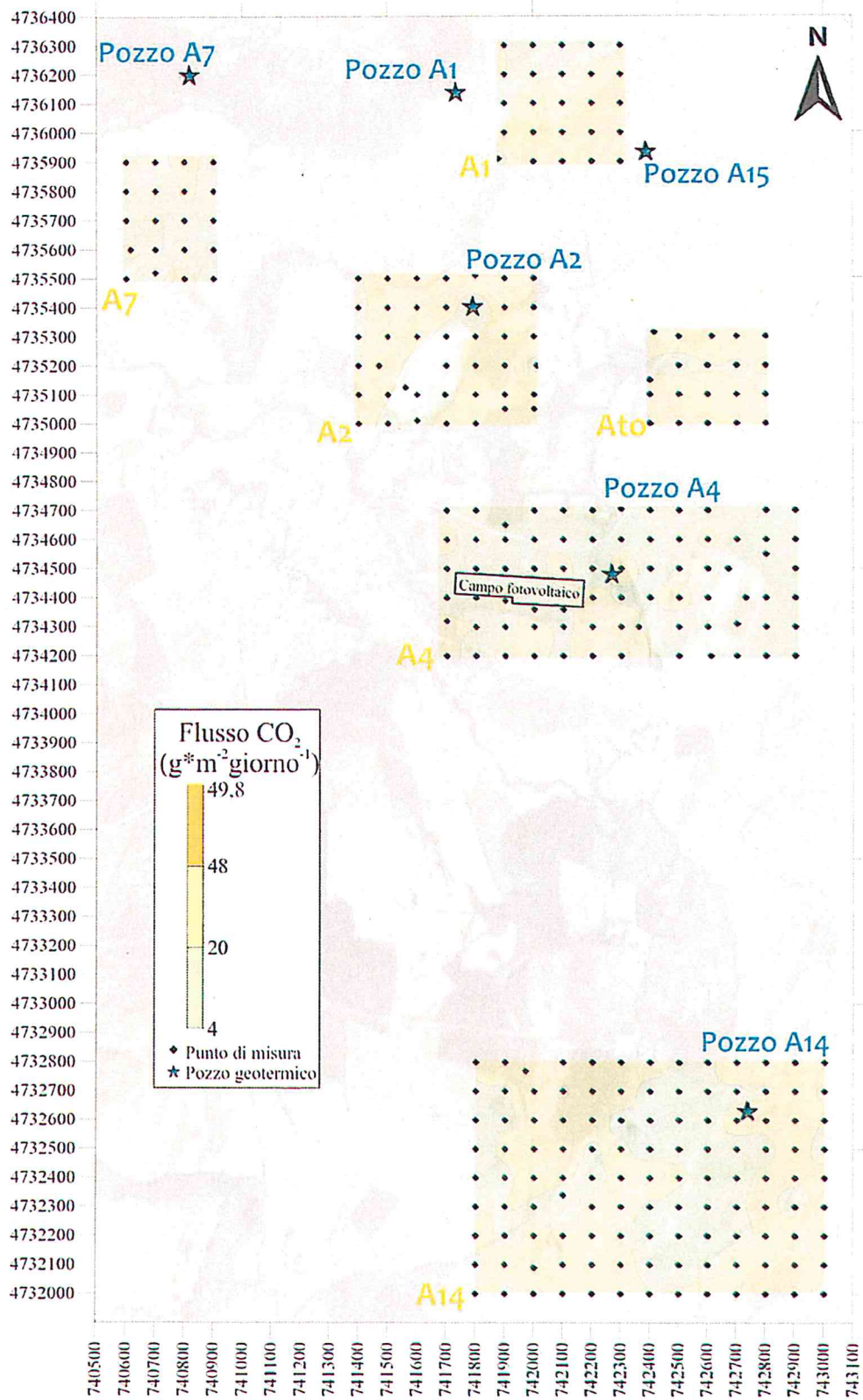


Fig. A15. Mappa del flusso di CO₂ dal suolo delle aree target misurato ad agosto 2016.

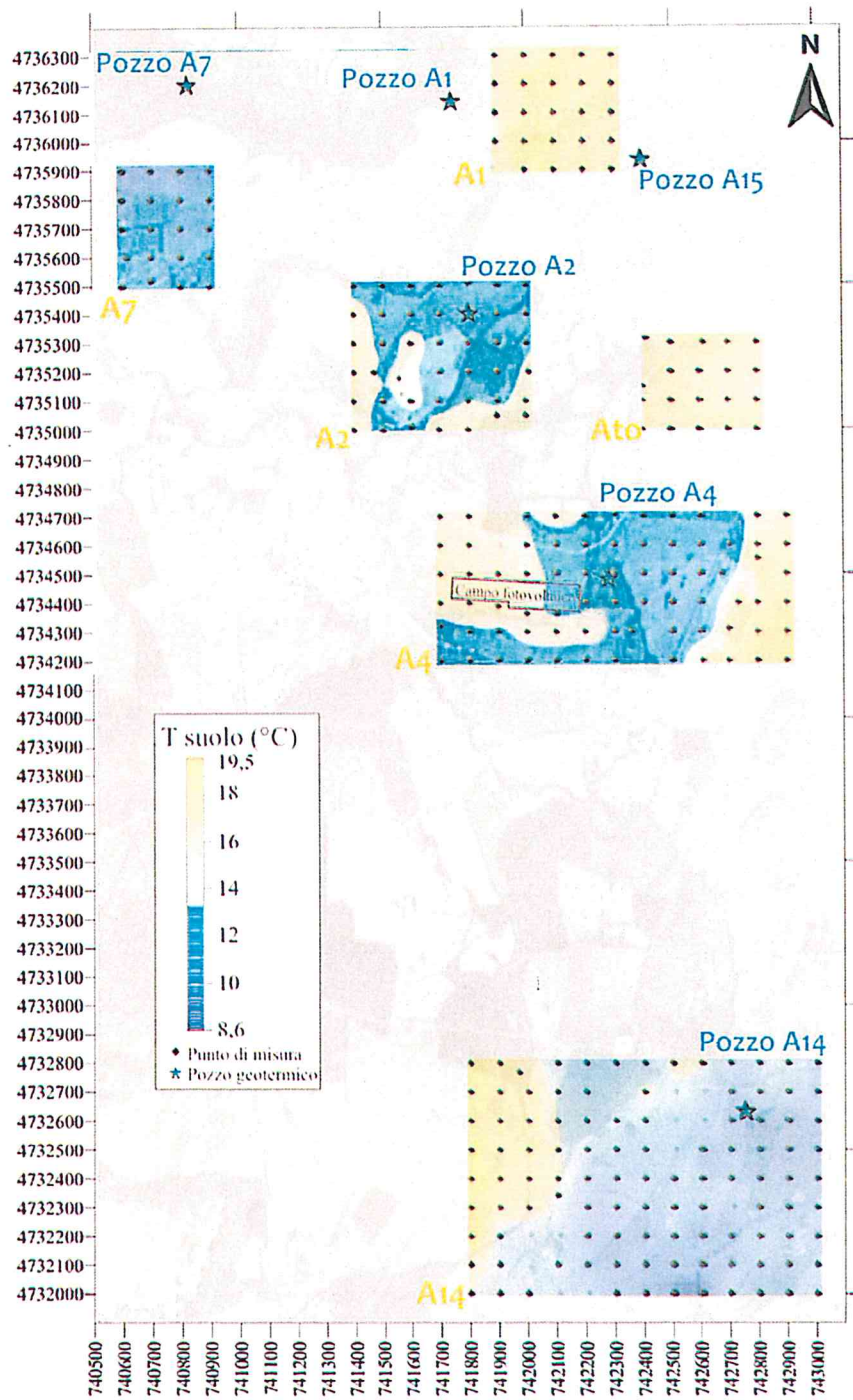


Fig. A16. Mappa della temperatura del suolo nelle aree target - campagna di ottobre 2016.

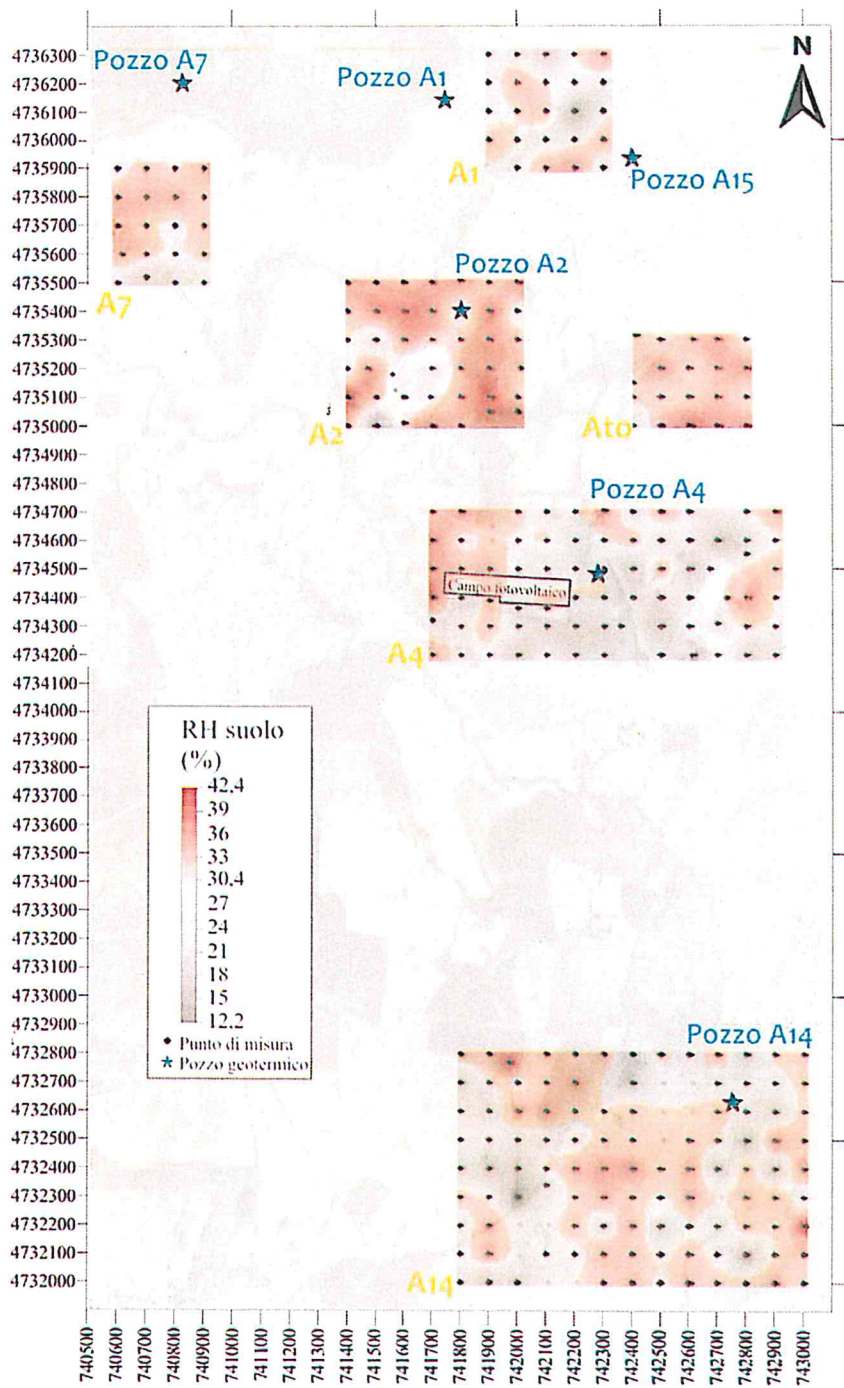


Fig. A17. Mappa dell'umidità del suolo nelle aree target - campagna di ottobre 2016.

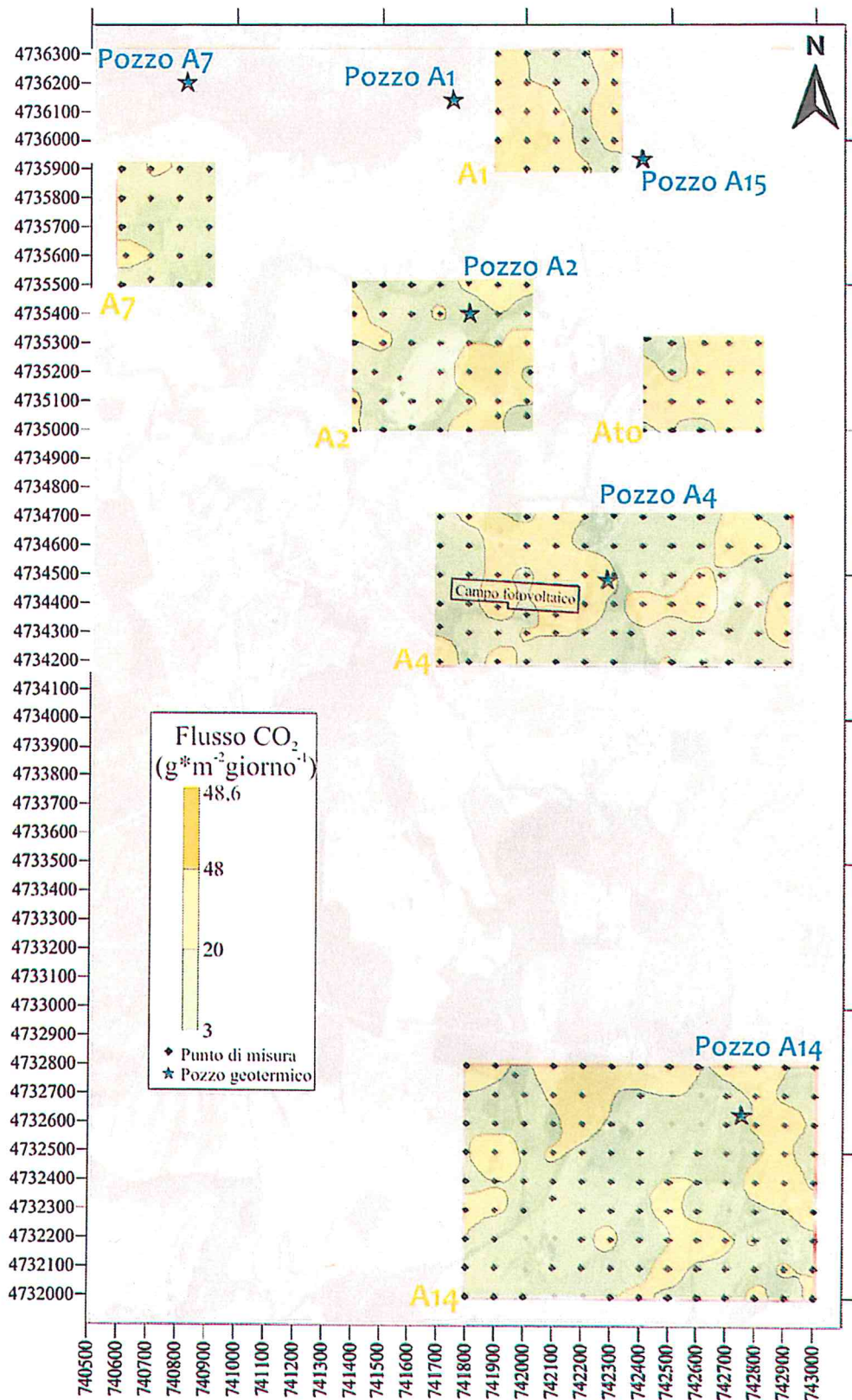


Fig. A18. Mappa del flusso di CO₂ dal suolo delle aree target misurato ad ottobre 2016.

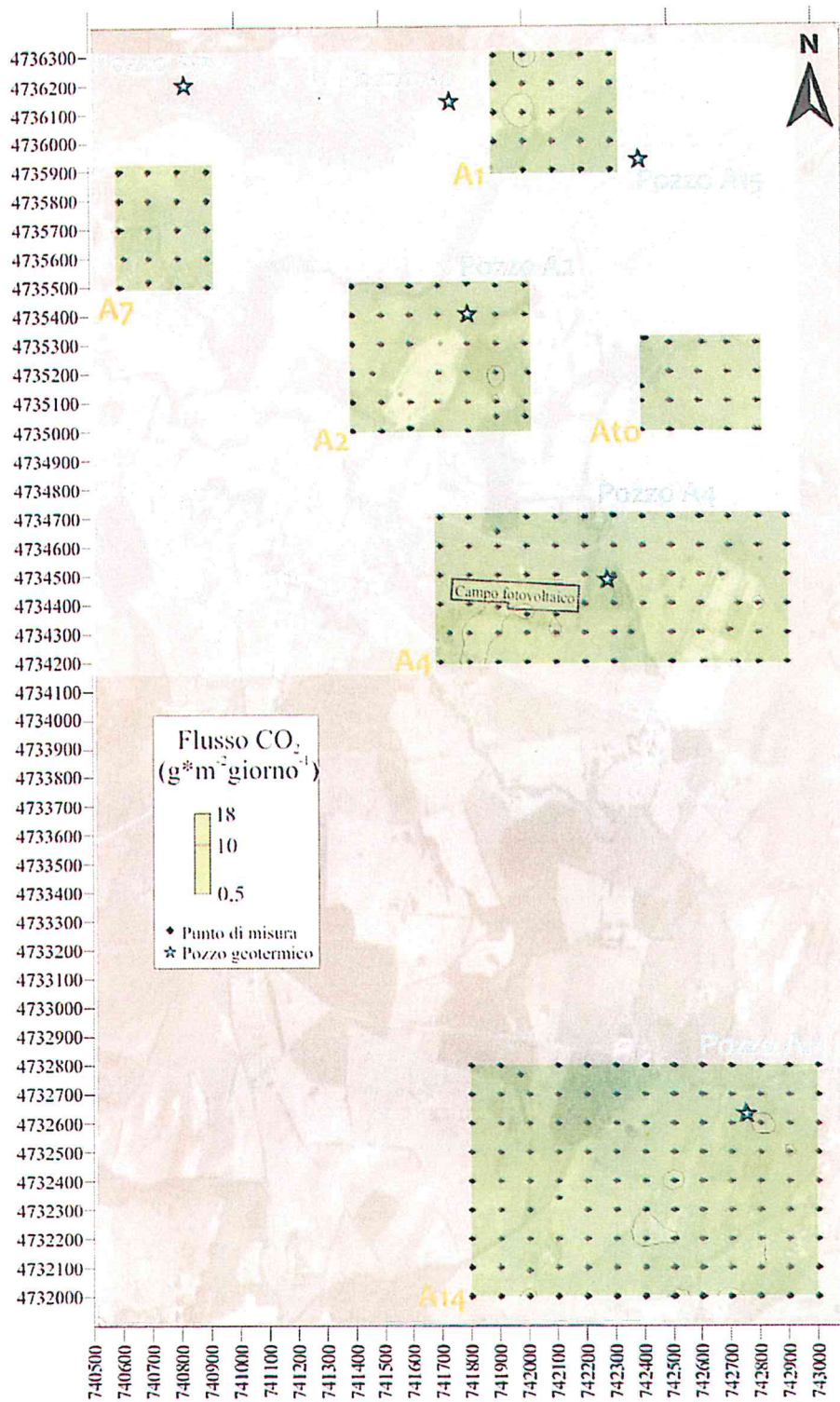


Fig. A19. Mappa del flusso di CO₂ dal suolo delle aree target misurato a gennaio 2017.

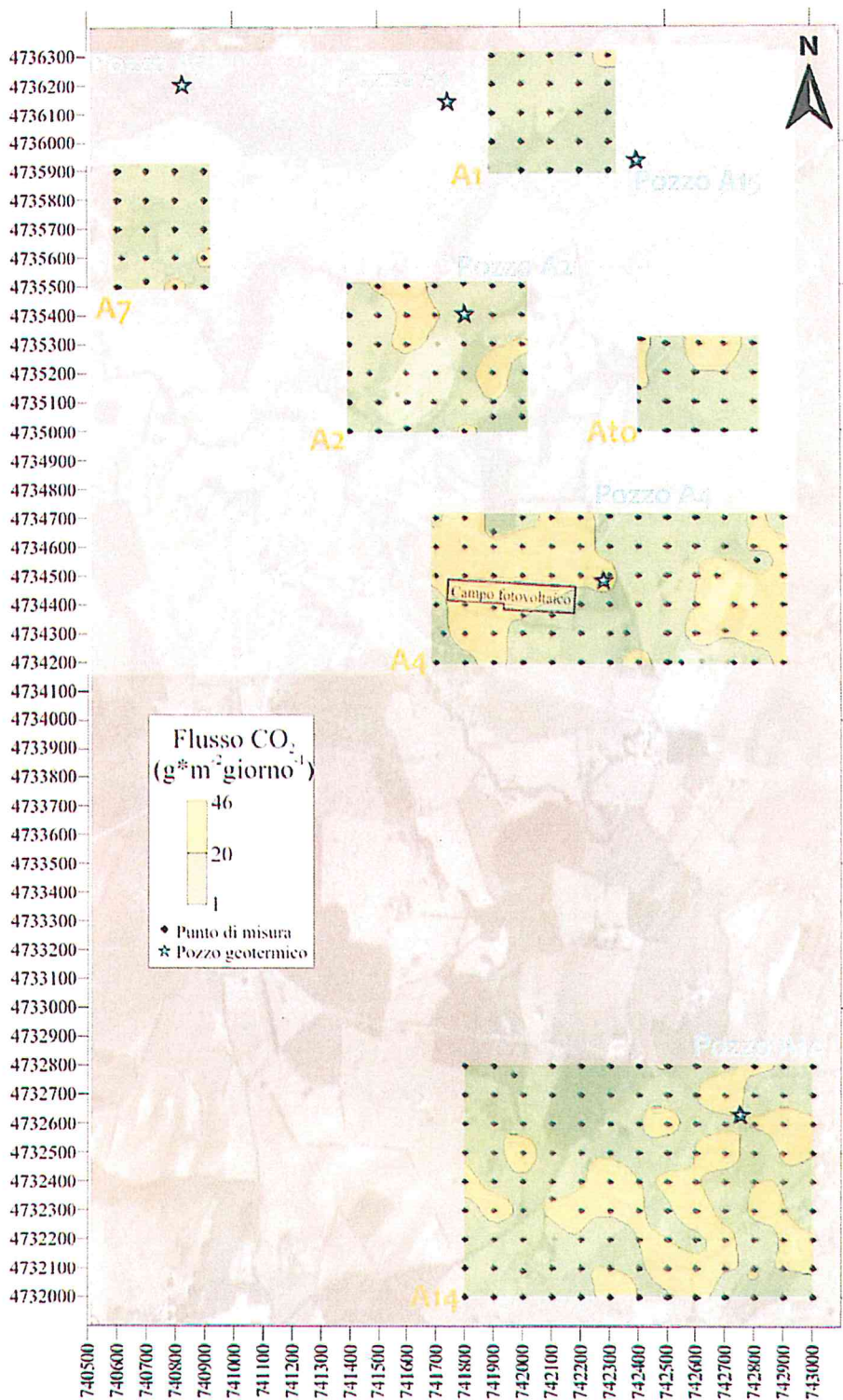


Fig. A20. Mappa del flusso di CO₂ dal suolo delle aree target misurato ad aprile 2017.

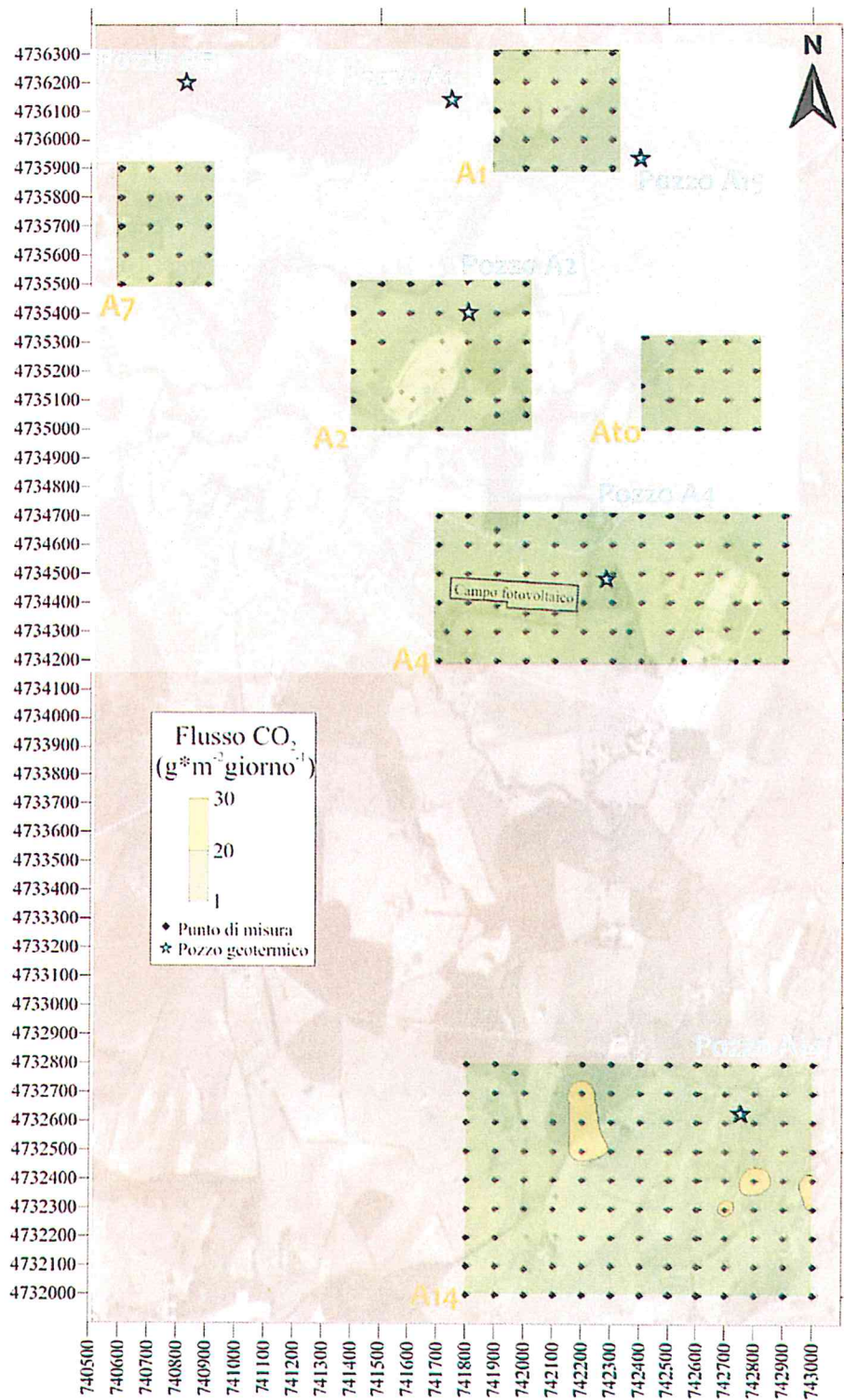


Fig. A21. Mappa del flusso di CO₂ dal suolo delle aree target misurato a giugno 2017.

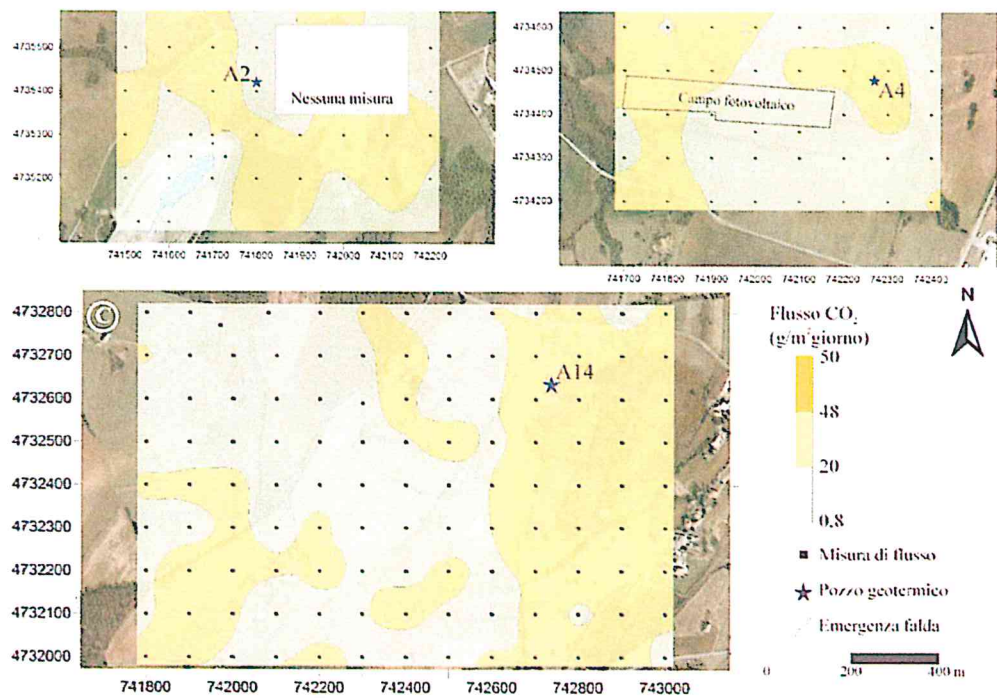


Fig. A1. Mappa del flusso di CO₂ dal suolo delle aree target A2, A4 e A14 della prospezione del 22 aprile 2013.